


Anexos.


Anexo I: Perfiles estratigráficos.

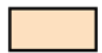
Perfil Izquierdo

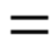
- Coordenadas UTM ETRS89: 30 T 555789.85 4567305.79

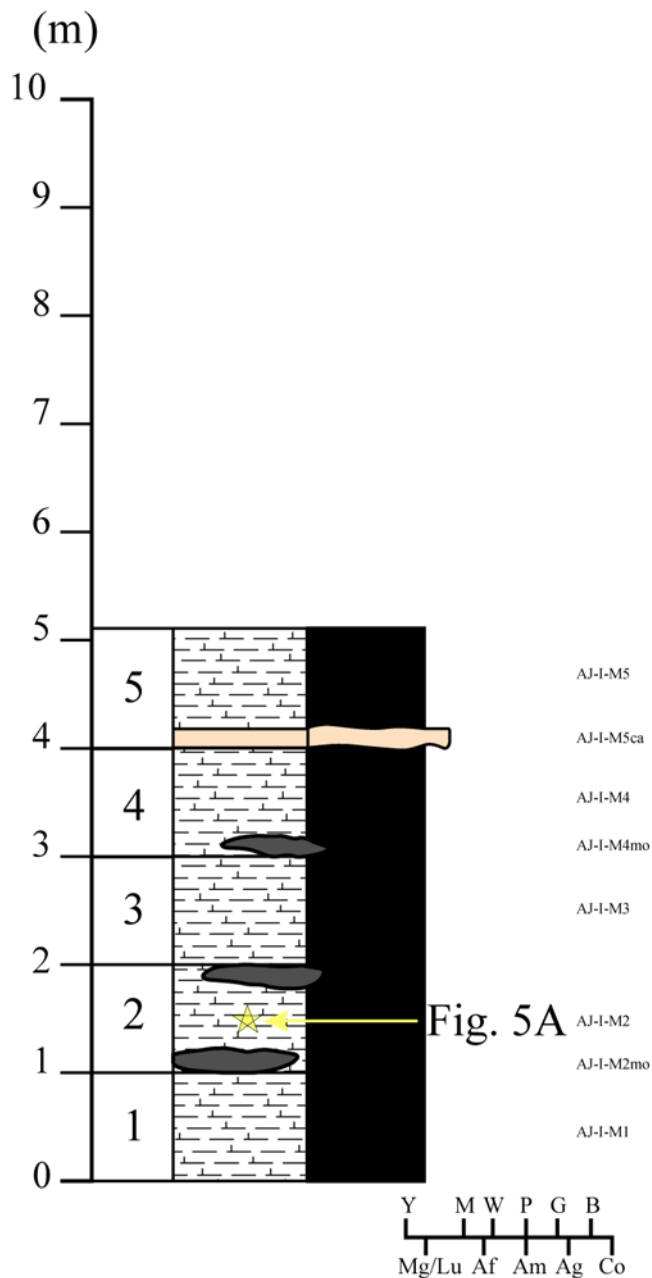
- Leyenda:

 Arcilla-marga blanco-grisácea

 Arcilla negro-grisácea

 Nivel margodolomítico







 Laminación horizontal difusa

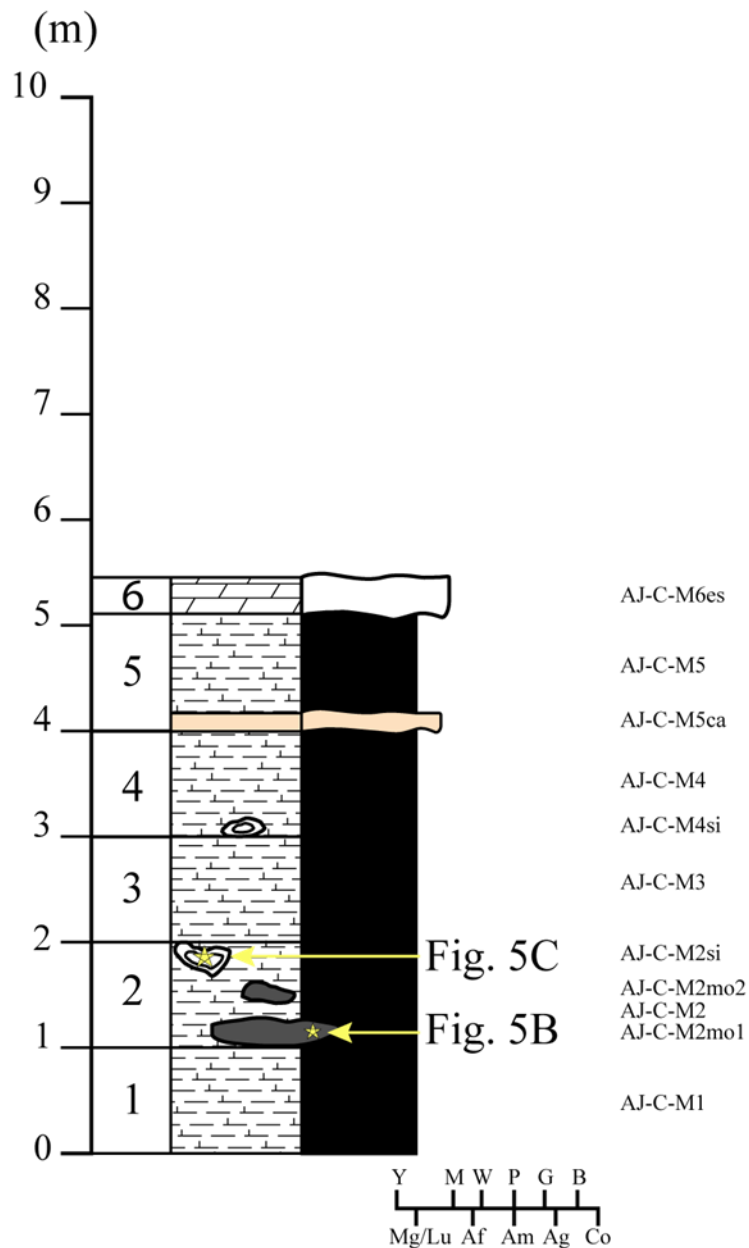


Perfil Central

- Coordenadas UTM ETRS89: 30 T 555776.96 4567269.83

- Leyenda:




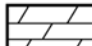


-  Arcilla-marga blanco-grisácea
-  Arcilla negro-grisácea
-  Nivel margodolomítico
-  Nivel dolomítico
-  Nódulo de sílex
-  Laminación horizontal difusa

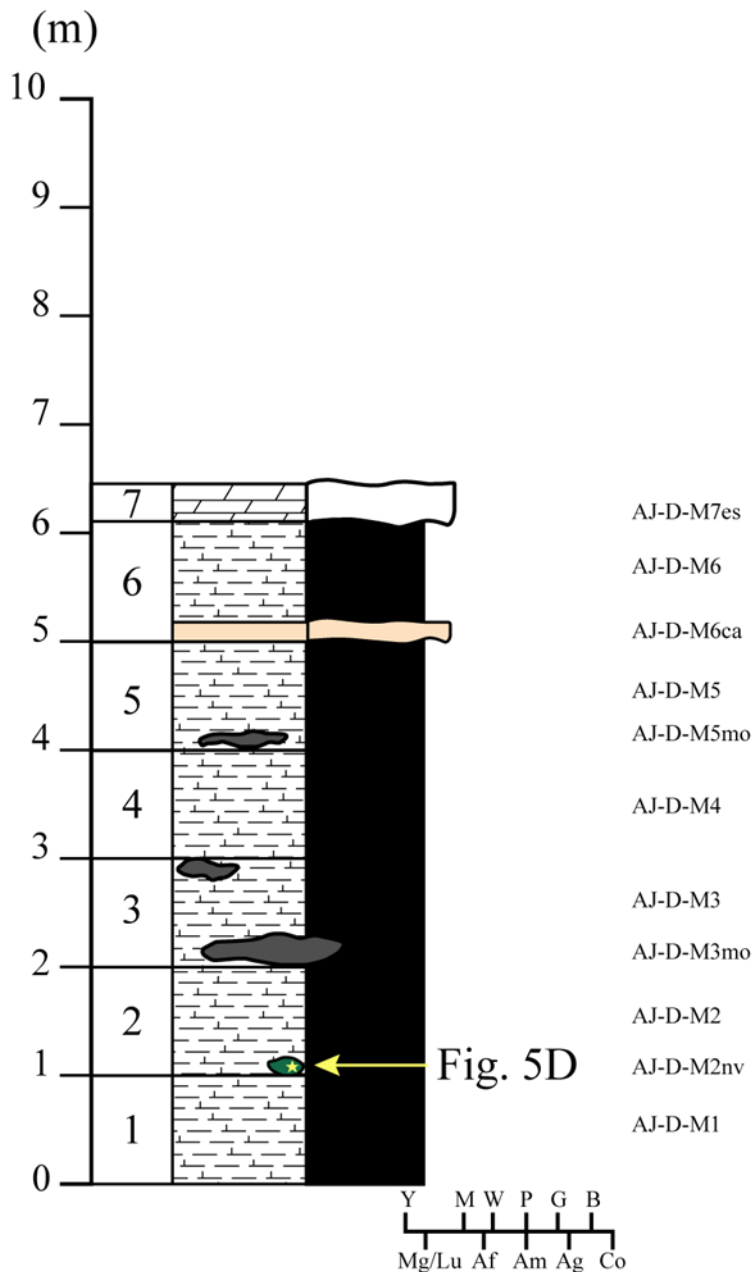


Perfil Derecho

- Coordenadas UTM ETRS89: 30 T 555747.18 4567260.88

- Leyenda:

-  Arcilla-marga blanco-grisácea
-  Arcilla negro-grisácea
-  Nivel margodolomítico
-  Nivel dolomítico
-  Nódulo de arcilla verde
-  Laminación horizontal difusa



Anexo II: Análisis mineralógico semicuantitativo (DRX).

Análisis mineralógico semicuantitativo (DRX) de las muestras totales y de las fracciones libres de carbonatos, expresados en porcentaje en peso. En el calculo de la media no se han considerado los niveles de nódulos de sílex y los nódulos de arcillas verdes. Qz: cuarzo, Kfs: feldespato potásico, Pl: plagioclasa, Dol: dolomita, Sep: sepiolita, Plg: paligorskita, Ilt-Ms: illita-micas, n.d: no detectado.

Muestra	Minerales Muestra Total					Minerales Agregado Orientado		
	Qz	Dol	Kfs	Pl	Arcillas	Sep	Plg	Ilt-Ms
AJ-I-M1	1	65	n.d	n.d	34	24	10	n.d
AJ-I-M2	1	21	1	2	75	62	13	n.d
AJ-I-M3	n.d	58	n.d	n.d	42	35	7	n.d
AJ-I-M4	n.d	77	n.d	n.d	23	20	3	n.d
AJ-I-M5	2	75	n.d	n.d	23	16	7	n.d
AJ-I-M2mo	4	12	4	1	79	48	31	n.d
AJ-I-M4mo	2	26	n.d	n.d	72	60	12	n.d
AJ-I-M5ca	n.d	80	n.d	n.d	20	14	6	n.d
AJ-C-M1	1	62	1	1	35	26	9	n.d
AJ-C-M2	n.d	46	n.d	n.d	54	45	9	n.d
AJ-C-M3	n.d	73	1	2	24	18	6	n.d
AJ-C-M4	1	78	n.d	n.d	21	16	5	n.d
AJ-C-M5	2	71	n.d	n.d	27	17	10	n.d
AJ-C-M6es	3	83	n.d	n.d	14	8	6	n.d
AJ-C-M2mo1	5	8	2	2	83	54	29	n.d
AJ-C-M2mo2	10	26	3	1	60	36	24	n.d
AJ-C-M2si	100	n.d	n.d	n.d	n.d	n.d	n.d	n.d
AJ-C-M4si	100	n.d	n.d	n.d	n.d	n.d	n.d	n.d
AJ-C-M5ca	n.d	82	n.d	n.d	18	12	6	n.d
AJ-D-M1	2	61	1	2	34	21	13	n.d
AJ-D-M2	1	53	n.d	n.d	46	46	n.d	n.d
AJ-D-M3	n.d	64	n.d	1	35	35	n.d	n.d
AJ-D-M4	n.d	60	1	1	38	38	n.d	n.d
AJ-D-M5	n.d	73	n.d	n.d	27	27	n.d	n.d
AJ-D-M6	3	58	n.d	n.d	39	14	25	n.d
AJ-D-M7es	4	80	n.d	2	14	12	2	n.d
AJ-D-M3mo	2	42	n.d	n.d	56	47	9	n.d
AJ-D-M5mo	3	24	1	n.d	72	60	12	n.d
AJ-D-M2nv	20	6	4	3	67	30	n.d	37
AJ-D-M6ca	1	85	n.d	n.d	14	9	5	n.d
Media	3	57	2	2	40	30	11	n.d

Anexo III: Análisis mineralógico Orera.

Composición mineralógica de las muestras modificado de Mayayo *et al.*, (1998). Qz: cuarzo, Kfs: feldespato potásico, Pl: plagioclasa, Ill-Ill/Sme: illita-illita/esmectita, Al-Sme: esmectita alumínica, Chl+Kln: clorita + caolinita, A.Si: sílice amorfa, Plg: paligorskita, Sep: sepiolita, Mg-Sme: esmectita magnésica, Ap: apatito, Cpt: clinoptinolita, Cal: calcita, Dol: dolomita.

Orera	Detriticos						Neofrmados						Carbonatos	
	Muestra	Qz	Kfs	Pl	Ill-Ill/Sme	Al-Sme	Chl+Kln	A.Si	Plg	Sep	Mg-Sme	Ap	Cpt	Cal
Myta-1	14	0	0	17	8	0	0	4	55	2	0	0	0	0
Myta-2	17	0	2	30	5	0	0	5	30	8	0	3	0	0
Myta-3	4	0	0	6	7	0	0	0	3	2	0	0	0	78
Myta-4	0	0	0	5	0	0	0	0	5	5	0	0	0	85
Myta-5	5	0	0	8	4	0	4	0	71	7	0	1	0	0
Myta-6	10	1	2	41	13	0	0	0	5	25	2	1	0	0
Myta-7	8	2	2	43	13	0	0	0	16	16	0	0	0	0
Myta-8	0	0	0	2	0	0	0	0	10	5	0	0	0	83
Myta-9	15	2	1	59	10	0	0	0	4	8	0	1	0	0
Myta-10	13	1	1	32	8	0	0	8	30	7	0	0	0	0
Myta-11	0	0	0	2	0	0	0	0	10	5	0	0	83	0
Myta-12	0	0	0	8	8	0	0	0	3	3	0	0	75	3
Myta-13	13	2	2	38	15	0	0	0	19	9	0	0	0	2
Myta-14	6	0	0	3	7	0	3	0	79	0	0	2	0	0
Myta-15	10	0	0	43	4	0	0	12	26	5	0	0	0	0
Myta-16	0	0	0	3	4	0	0	0	3	3	0	0	2	85
Myta-17	8	0	0	37	2	0	0	15	31	5	0	2	0	0
Ru-1	8	0	2	41	0	3	0	0	17	6	0	0	19	4
Ru-2	4	1	2	24	6	0	0	3	22	15	0	0	20	3
Ru-3	3	2	3	36	6	3	0	3	17	23	0	2	0	2
Ru-4	5	2	3	10	4	0	0	4	18	2	0	0	0	52
Ru-5	1	1	1	36	6	2	0	0	17	35	0	0	1	0
Ru-6	5	1	2	30	8	2	0	0	16	30	3	2	1	0
Ru-7	2	0	1	3	0	0	0	0	8	3	0	0	0	83
Ru-8	9	1	1	18	3	0	0	0	46	6	0	0	1	15
Ru-9	2	1	1	43	0	3	0	0	16	31	0	2	0	1
Ru-10	0	2	2	28	4	0	0	0	10	51	0	1	0	2
Ru-11	19	2	2	50	1	1	0	0	0	25	0	0	0	0
Ru-12	6	0	0	18	0	0	0	0	0	11	0	0	0	65
Ru-13	28	2	1	39	0	0	0	0	0	29	0	0	0	1
Ru-14	9	0	0	12	0	0	0	0	2	16	0	0	0	61
Ru-15	10	2	2	43	0	1	0	0	4	36	0	1	0	1
Ru-16	20	3	4	55	2	1	0	0	3	9	3	0	0	0
Ru-17	35	1	2	23	2	2	0	0	0	0	35	0	0	0
Ru-18	14	2	2	58	0	3	0	0	13	4	3	1	0	0
Ru-19	15	0	0	18	0	0	0	0	6	22	0	0	0	39
Ru-20	38	1	2	53	0	2	0	0	0	4	0	0	0	0
Ru-21	18	3	1	44	1	0	0	0	24	8	0	1	0	0
Ru-22	13	2	1	62	0	3	0	0	9	9	0	0	0	1
Ru-23	9	3	0	30	4	1	0	0	35	11	0	3	0	4
Ru-24	0	0	0	47	0	2	0	0	8	26	5	0	7	5
Ru-25	17	0	0	54	0	2	0	0	20	7	0	0	0	0
Ru-26	36	2	0	44	0	0	0	0	10	5	3	0	0	0
Cala-1	1	0	0	5	0	0	0	0	12	0	0	0	2	80
Cala-2	3	0	0	3	0	0	0	0	87	1	0	0	0	6
Cala-3	4	0	0	9	0	0	0	1	4	0	0	0	0	82
Cala-4	6	0	2	16	7	0	0	0	67	1	0	0	0	1
Cala-5	8	0	0	34	7	0	0	0	47	0	0	0	0	4
Cala-6	3	2	2	48	4	0	0	2	35	4	0	0	0	0
Cala-7	14	0	1	69	0	3	0	0	11	0	0	0	0	2
Cala-8	5	0	0	16	6	0	0	0	72	1	0	0	0	0
Cala-21	11	0	0	37	10	0	0	0	41	0	0	0	0	1
Cala-22	13	2	4	61	2	3	0	0	0	12	0	0	0	3
Cala-23	1	0	2	56	0	5	0	0	5	20	0	0	4	7
Cala-24	8	2	5	41	12	0	0	0	0	31	0	0	0	1
Cala-25	6	0	0	25	0	0	0	17	51	0	0	0	1	0
Media	10	1	1	31	4	1	0	1	21	11	1	0	4	15